

## ارتباط کانی‌شناسی اولیزیست‌ها و کوارتزهای سازند آغازگاری با سری هرمز در منطقه‌ی سیاهو هرمزگان

محمد پوستی\*: استادیار گروه زمین‌شناسی، دانشکده‌ی علوم پایه، دانشگاه هرمزگان، بندرعباس

حسین غلامعلیان: دانشیار گروه زمین‌شناسی، دانشکده‌ی علوم پایه، دانشگاه هرمزگان، بندرعباس

تاریخ پذیرش: ۱۰/۱۵/۱۳۹۷ | تاریخ دریافت: ۲۱/۰۲/۱۳۹۷

### چکیده

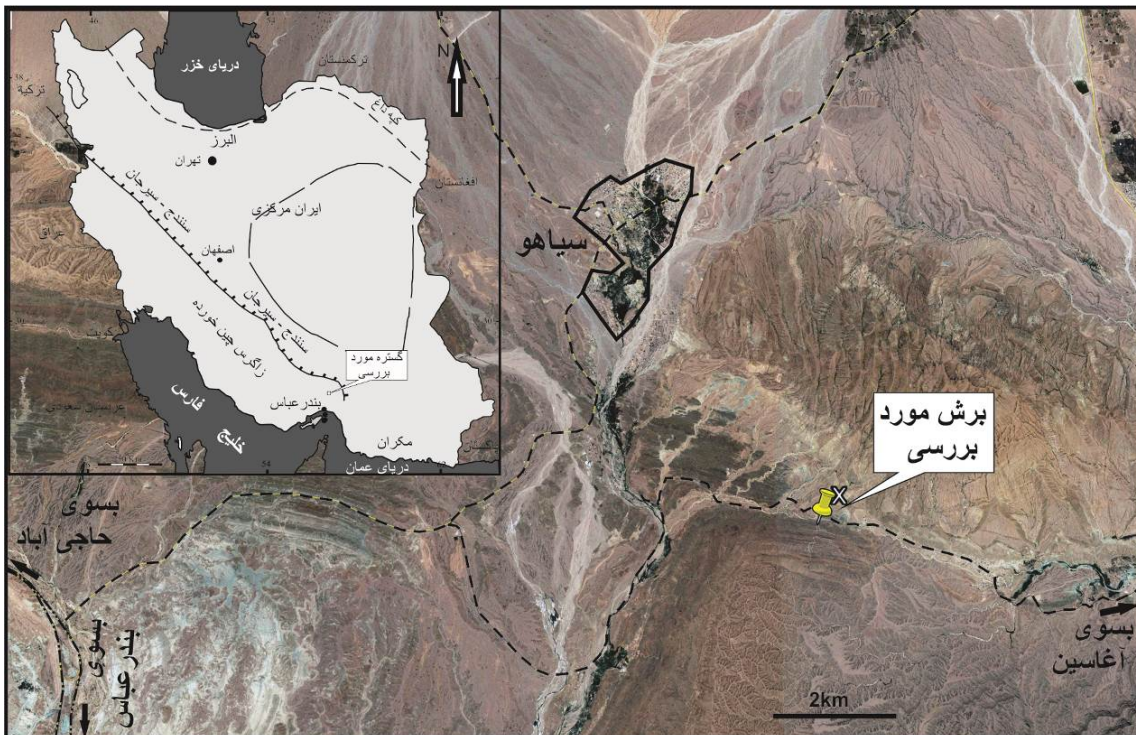
سازند آغازگاری با سن میوسن میانی تا پلیوسن، آخرین واحد گروه فارس است. سنگ‌رخساره‌های شناخته شده در نهشته‌های این سازند شامل ماسه‌سنگ آهکی، مارن، آهک و سیلتستون آهکی است. ستبرای این سازند در برخی از مناطق پس‌خشکی بندرعباس به بیش از ۳۰۰۰ متر هم می‌رسد. مطالعات صحرایی و میکروسکوپی روی ۵۰ نمونه‌ی برداشت شده از این سازند در محدوده‌ی مورد پژوهش و نمونه‌های گرفته شده از سری هرمز (مریبوط به چند گند) نشان می‌دهد که این سازند دارای آواری (عدم تأثیرگذاری کوارتز پلی‌کربیتان و کوارتزهای با خاموشی موجی)، خردکهای سنگواره‌ها، کانی‌های تیره (اکسید و هیدروکسیدهای آهن)، آلبیت، ارتولاز و کانی‌های فرعی مسکویت و کلریت است که همگی در یک زمینه‌ی آهکی قرار دارد. آزمایش‌های XRF و میکروپریوب سه نمونه از اولیزیست‌های موجود در سازند آغازگاری و سری هرمز، بیانگر این است که منشأ اولیزیست‌ها احتمالاً به فراسایش سری هرمز بازمی‌گردد. فراوانی کوارتزهای دارای خاموشی موجی در سازند آغازگاری نیز منشأ دگرگونی را برای آنها نشان می‌دهد و احتمالاً توسط عوامل حمل و نقل از پهنه‌ی ساختاری سنتنچ. سیرجان به این حوضه‌ی رسوی منتقل شده‌است.

**واژگان کلیدی:** اولیزیست، کوارتز، سازند آغازگاری، سری هرمز، سنتنچ - سیرجان، منشأ‌یابی.

### ۱- مقدمه

سازند آغازگاری و معادلهای آن در استان‌های خوزستان، لرستان، هرمزگان و کشورهای عراق، سوریه و ترکیه رخنمند دارد و شامل نهشته‌های آواری قاره‌ای مانند ماسه‌سنگ سرخ رنگ و مارن سیلتی و رسن است. ستبرای این سازند در بشکه‌ی زیاد است و گسترش فراوانی دارد. این سازند آواری در هرمزگان، ماسه‌سنگی و مارنی است و سن آن را از میوسن پسین تا پلیوسن می‌دانند (Homke et al, 2004). این سازند آواری در منطقه‌ی سیاهو گسترش فراوانی دارد و دانه‌های تشکیل‌دهنده‌ی آن به غیر از کوارتز، شامل کانی‌هایی متنوع به ویژه انواع آهن‌دار (اولیزیست) است. بررسی منشأ کانی‌های مختلف در این سازند به ویژه انواع آهن‌دار آن می‌تواند مورد مطالعه قرار گیرد؛ چرا که کاهش و افزایش میزان کانی آهن‌دار، می‌تواند ملاکی برای دور یا نزدیک بودن به گنبدهای نمکی باشد و به تفسیرهای زمین‌شناسی کمک کند. همچنین بررسی ویژگی‌های کانی‌شناسی این سازند می‌تواند به شناخت تأثیر فراسایش بر آن کمک کند (Makki et al, 2016 & Nohegar et al, 2017).

منطقه‌ی مورد بررسی، در شمال بندرعباس (استان هرمزگان) و در محدوده‌ی روستاهای سیاهو و آغازین قرار دارد. برای رسیدن به این منطقه باید ۷۶ کیلومتر را در جاده‌ی بندرعباس - حاجی‌آباد تا دوراهی سیاهو پیمود، سپس ۱۰ کیلومتر دیگر به سوی باختر تا راه فرعی آغازین طی کرد (شکل ۱ و ۲).



شکل ۱: موقعیت منطقه در شمال بندرعباس (برگرفته از Vega et al, 2012) و تصویر ماهواره‌ای منطقه همراه با راه‌های دسترسی

گروه فارس، نماد چرخه‌ی رسوی بزرگی است که در نوژن (میوسن تا پلیوسن) تشکیل شده‌است. بر اساس نظر بسیاری از کارشناسان مانند Aghanabati (2004) Stöcklin Setudehnia (2004) و Kalantari (1991) (1992)، این گروه شامل سازندهای گچساران، میشان و آغازین است؛ در حالی که Motiei (1993) معتقد است سازند بختیاری نیز باید به این جمع اضافه شود. همچنین در بعضی مناطق مانند شمال بندرعباس و فارس میانی، سازند رازک جایگزین سازند گچساران می‌شود. سازندهای یادشده در منطقه‌ی سیاهو نیز رخنمون دارد (شکل ۲). براساس نظر Homke و همکاران (2004)، سن سازند آغازین، اواخر میوسن تا پلیوسن میانی است و برخی دیگر مانند Emami (2008) و همکاران (2009)، شروع این سازند را از میوسن میانی می‌دانند؛ البته Amiri-bakhtiar (2014) معتقد است این سازند در برخی از نواحی زاگرس نیز می‌تواند قدیمی‌تر باشد.

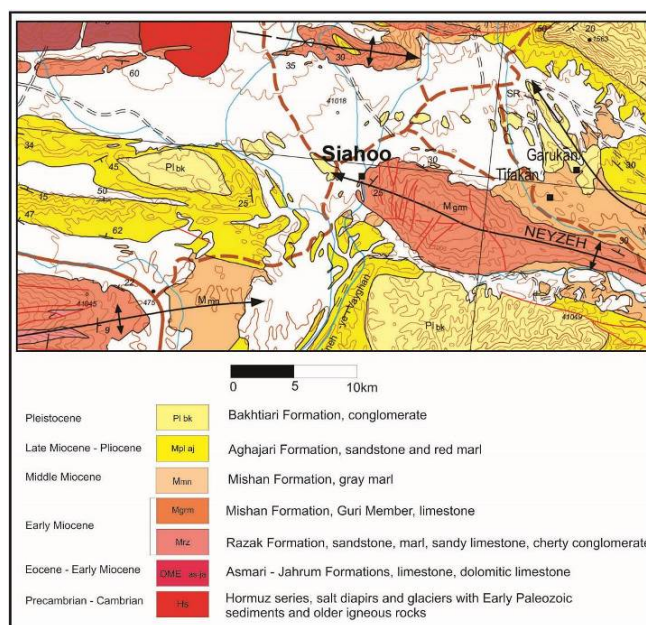
استان هرمزگان از نظر زمین‌شناسی در محدوده‌ی سه واحد مهم رسوی - ساختاری ایران یعنی زاگرس، مکران و سندج - سیرجان قرار دارد. بخش بزرگی از استان به ویژه شهرستان‌های میانی و باختری آن نیز در زاگرس چین خورده قرار می‌گیرد.

به طور کلی، ساختار زمین‌شناسی منطقه‌ی شمال بندرعباس - که منطقه‌ی سیاهو نیز بخشی از آن است - از یک سری ساختمان‌های بزرگ تاقدیس و ناویدیس تشکیل شده‌است که روند تقریبی باختری - خاوری دارد. این تاقدیس‌ها

و ناودیس‌ها به ترتیب از سازندهای میشان، آغازگاری و بختیاری تشکیل شده که مجموع ستبرای آنها چند هزار متر است (شکل ۲). مرز زیرین سازندهای میشان در این منطقه در هسته‌ی تاقدیس‌ها بر روی سازنده رازک قرار دارد و هر روز بالایی آن با سازنده آغازگاری به صورت پیوسته و تدریجی است (Khaksar, 2012).

فراوانی گنبدی‌های نمکی سری هرمز در هرمزگان، از ویژگی‌های این منطقه است و بر اساس نظر Mortazavi (2006)، تعداد رخنمون‌های سطحی آنها به ۱۱۸ عدد می‌رسد. گنبدی‌های نمکی به دلیل قابلیت اتحاد، فرسایش‌پذیری شدید و سنگ‌شناسی خاص - که بیشتر از گچ و نمک و توده‌های آذرین بازیک تا اسیدی تشکیل شده‌است - بر محیط رسوی در این منطقه تأثیر فراوانی داشته و بخش زیادی از رسوباتی که در سنوزوئیک نهشته شده، از فرسایش آنها تأمین شده‌است.

سازنده آغازگاری در منطقه‌ی سیاهو رخنمون زیادی دارد و در همه جا ستیغ‌ساز است. ضخامت این سازنده در ناحیه‌ی یاد شده زیاد است و بخش بالایی آن، فقط در بعضی جاها به راحتی قابل دسترسی است. در حوالی روستاهای سیاهو و آغازین فقط بخش بالایی سازنده آغازگاری مشاهده می‌شود و مرز پایینی آن با میشان با یک گسل معکوس، و مرز بالایی آن با سازنده بختیاری پیوسته است (شکل ۳). ضخامت حقیقی این سازنده در منطقه‌ی مورد نظر تاکنون اندازه‌گیری نشده‌است، ولی بیش از ۳۰۰۰ متر تخمین زده می‌شود. بخش پایینی این سازنده، تناوبی از مارن و ماسه‌سنگ و بخش بالایی آن عمدتاً از ماسه‌سنگ تشکیل شده‌است (شکل ۳). به طور کلی محیط رسوی این سازنده، دشت ساحلی و رودخانه‌ی متنه‌ی به آن است (Hassani and hosseini-Pour, inpress; Hassani et al, 2014). وجود سنگواره‌های دریابی مانند نرم‌تنان، روزنبران جلیک سرخ و بریزو佐 آین ایده را تقویت می‌کند (شکل ۴ و ۵).



شکل ۲: موقعیت زمین‌شناسی منطقه‌ی مورد مطالعه (برگرفته از Fakhari, 1995)

**۲- مواد و روش‌ها**

با توجه به تغییر ویژگی‌های سنگ‌شناسی در این توالی رسوبی، نمونه‌برداری در جهت عمود بر امتداد لایه‌ها صورت گرفت و بیشتر نمونه‌ها از دره‌ها برداشته شد. تعداد کل نمونه‌های برداشت شده از سازند آغازگاری، ۵۰ عدد است که از ۲۵ مورد از آنها برای تعزیزهای شیمیایی و از بقیه برای تهیه مقاطع نازک میکروسکوپی و مطالعات ماکروسکوپی استفاده شد.

تعداد آنالیزهای انجام شده، ۲۵ عدد است که ۱۱ مورد شامل تعزیزهای شیمیایی (آنالیز XRF) اکسیدی و ۱۱ مورد تعزیزه‌ی عنصری است. برای شناسایی دقیق تر تغییرات در ترکیب شیمیایی کانی‌ها، بر ۳ نمونه دیگر نیز آزمایش میکروپرپرب صورت گرفت. جدول نمونه‌های برداشت شده و مختصات نقاط برداشت آنها در این گزارش ذکر شده است (جدول ۱). آزمایش‌های XRF توسط شرکت زرآزما پرشیا و آزمایش میکروپرپرب‌ها نیز به وسیله‌ی آزمایشگاه شرکت ایمیدرو انجام شد. همچنین ۲۰ مقطع نازک از ماسه‌سنگ‌ها تهیه شد و مورد بررسی میکروسکوپی قرار گرفت. برای مقایسه‌ی اولیزیست‌های موجود در ماسه‌سنگ آغازگاری با همین کانی در سری هرمز، نمونه‌برداری از چند گنبد نمکی نیز انجام شد.

**جدول ۱: مختصات جغرافیایی (UTM) و شرح نقاط نمونه برداری شده.**

<b>Sample</b>	<b>X</b>	<b>Y</b>	<b>Description</b>	<b>Sample</b>	<b>X</b>	<b>Y</b>	<b>Description</b>
SIA106	437909	3065585	ماسه‌سنگ	Ho101	447087	2994338	اولیزیست گنبد هرمز
SIA107	437915	3065582	ماسه‌سنگ	An102	385221	3017117	اولیزیست گنبد انگوران
SIA108	437324	3065698	ماسه‌سنگ	Aga103			ماسه‌سنگ
SIA109	437370	3065723	ماسه‌سنگ	Aga104	433337	3067174	رسوب بستر رودخانه
SIA110	437496	3065698	ماسه‌سنگ	SIA105	426651	3075221	اولیزیست گنبد سیاهو
SIA111	437518	3065664	ماسه‌سنگ	Aga106	437350	3065702	ماسه‌سنگ
SIA112	437526	3065636	ماسه‌سنگ	Aga107	437385	3065695	ماسه‌سنگ
SIA113	437509	3065559	ماسه‌سنگ	Aga108	437420	3065712	ماسه‌سنگ
SIA114	437507	3065562	ماسه‌سنگ	Gah109	388163	3111061	اولیزیست گنبد گهکم
SIA115	437515	3065519	ماسه‌سنگ	Zend110	292365	2981662	اولیزیست گنبد زندان
SIA116	435446	3066354	ماسه‌سنگ	-----	-----	-----	-----

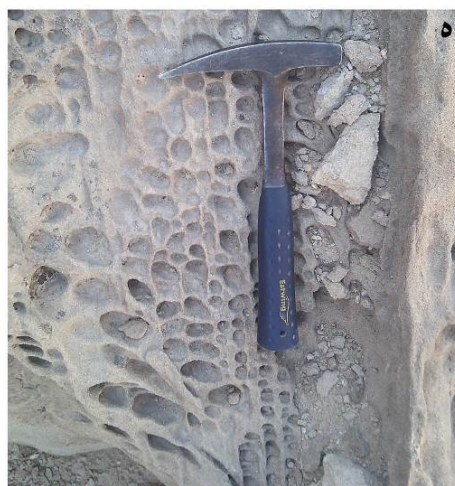
الف



ب



ج



شکل ۳: تصاویر صحرایی مربوط به سازندهای آغازاری و بختیاری در منطقه‌ی سیاهو. الف- نمای کلی بخش بالایی سازند آغازاری در یال جنوبی تاقدیس سیاهو؛ ب- تناوب کنگلومرا و ماسه‌سنگ در قاعده‌ی سازند بختیاری، نزدیک روستای آgasین؛ ج- مرز پیوسته بین دو سازند آغازاری و بختیاری، نزدیک روستای آgasین؛ د- شکل لانه زنوری ناشی از فرسایش بادی در ماسه‌سنگ آغازاری.

ماسه‌سنگ‌های سازند آغاجاری دارای دانه‌های آواری است که در یک سیمان آهکی قرار دارد. درصد متوسط عناصر سازنده‌ی سنگ بدین صورت است:

کوارتز: %۴۵ تا %۵۰ (که حدود %۲۰ آن را کوارتز پلی کریستالین - احتمالاً چرت - تشکیل می‌دهد) و بقیه‌ی آن کوارتز موجی است.

زمینه‌ی آهکی: %۳۰ تا %۳۵

کانی‌های تیره: %۳

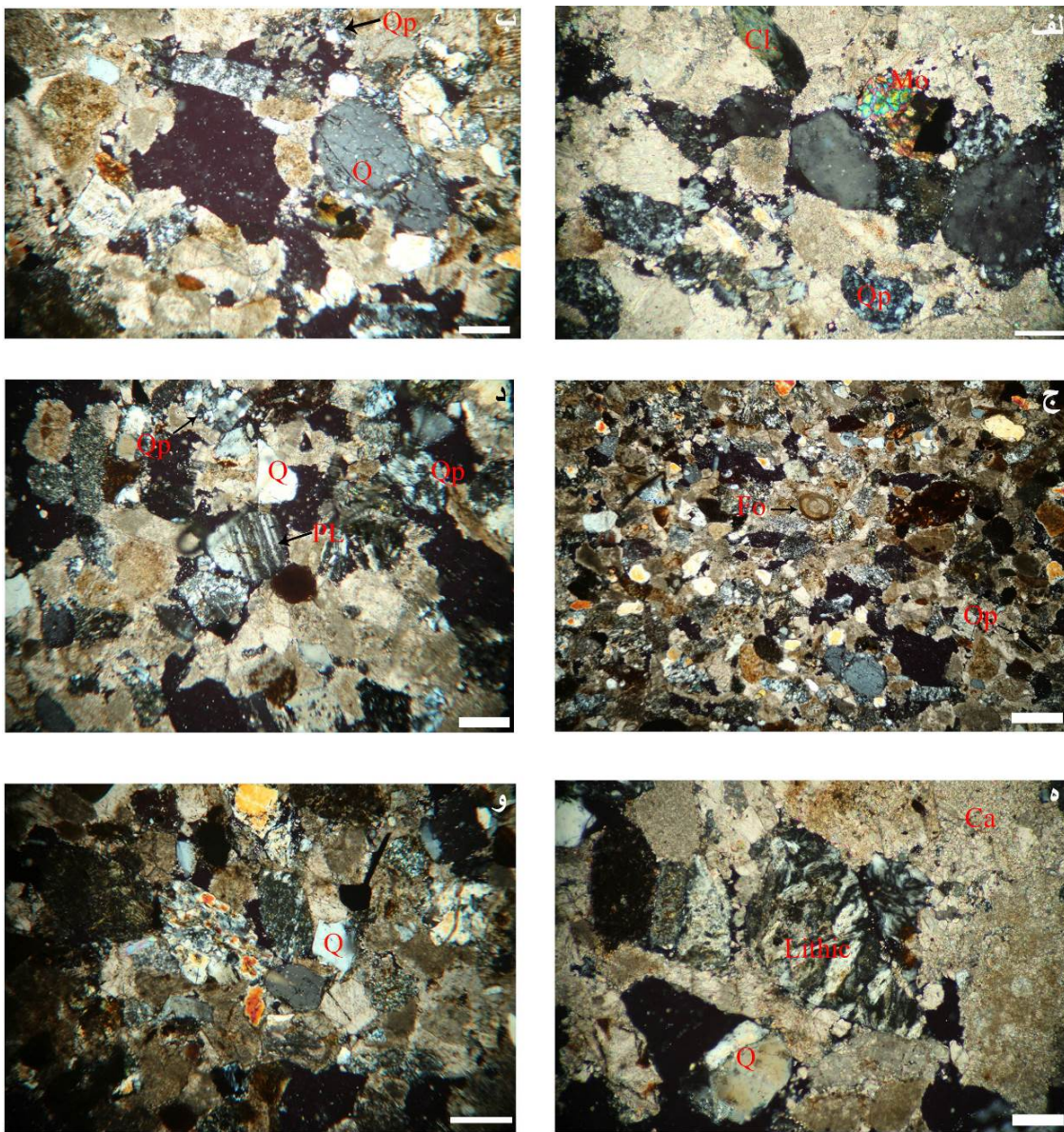
آلبیت و ارتوکلاز کمتر از ۱۰ درصد

کانی‌های فرعی (مسکویت و کلریت) کمتر از ۵ درصد

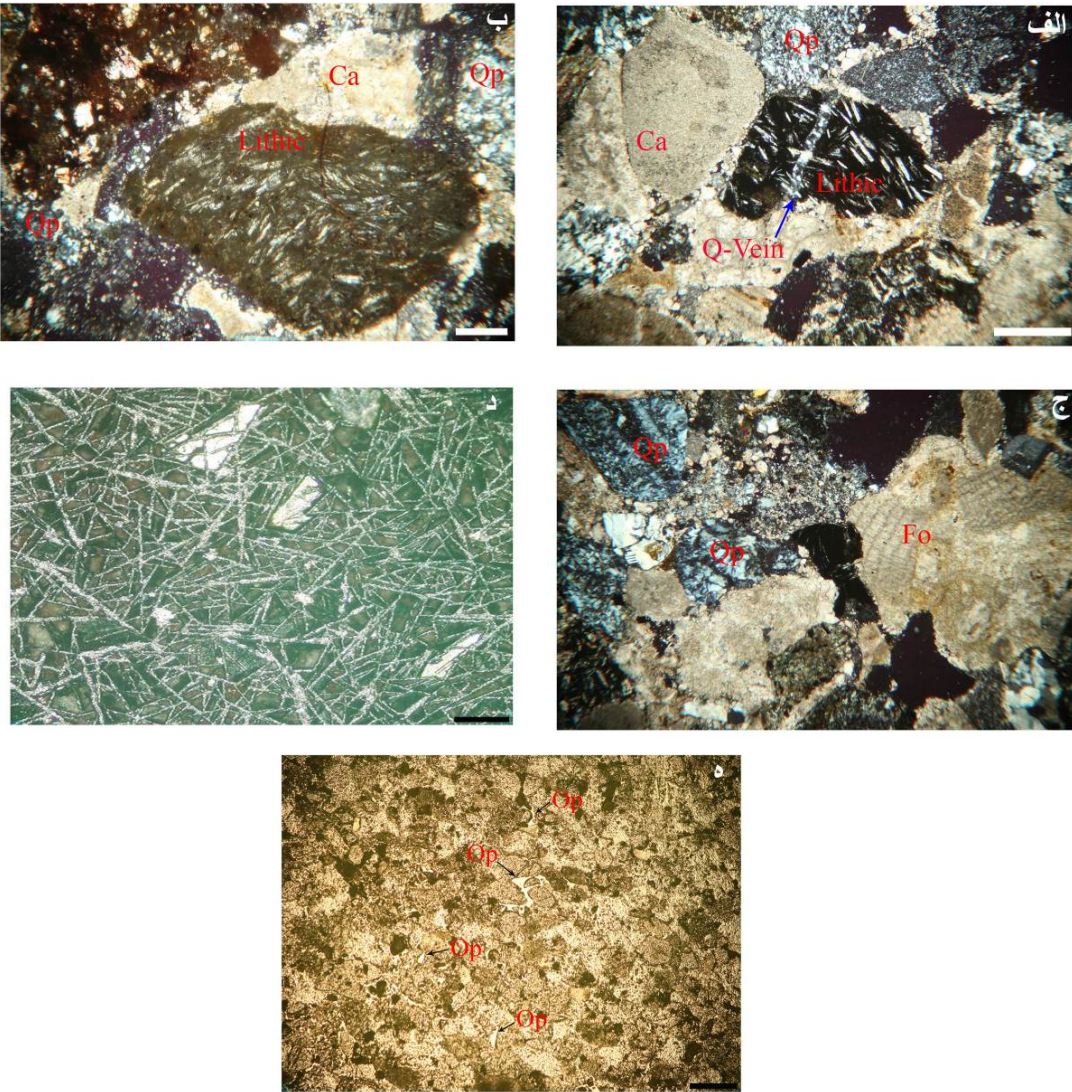
عمده‌ترین کانی سازنده‌ی دانه‌های تخریبی، کوارتز است و در نور پلاریزه، خاموشی موجی دارد و گاه پلی-کریستالین است که چند مرحله‌ی تبلور را نشان می‌دهد. همچنین قدرت گرد شدن دانه‌های کوارتز ضعیف است. این خصوصیات یاد شده نشان می‌دهد که منشأ این کوارتزها احتمالاً از سنگ‌های دگرگونی بوده‌است (Abbasi and Rezaei, 2014). فلدسپات‌سدیک (آلبیت) با ماکل پلی‌سنتیک خاص خود در این ماسه‌سنگ‌ها وجود دارد (شکل ۴). فلدسپات‌پتاسیک (ارتوكلاز) هم به مقدار اندک دیده می‌شود. از آنجا که کانی‌های یاد شده پایداری کمی دارد، در آب و هوای گرم به سرعت تجزیه می‌شود و دانه‌های آنها گرد شده نیست، باید از نزدیک ترین منشأ به این منطقه حمل شده باشد. همچنین کانی‌های بسیار ناپایداری مانند مسکویت و کلریت نیز به میزان کم در مقاطع نازک دیده می‌شود که آنها هم احتمالاً از سنگ‌های دگرگونی سرچشمه گرفته‌است (شکل ۵؛ البته کانی‌های تیره هم در تمام مقاطع نسبتاً فراوان است و احتمالاً حاصل از فرسایش سنگ‌های سری هرمز موجود در گنبدهای نمکی و رسوب‌گذاری مجدد است (شکل ۵)). به طور کلی، بررسی‌های انجام شده بر ترکیب کانی‌شناسی، سنگ‌شناسی و مطالعات صحرایی نشان می‌دهد که دانه‌های آواری سازند آغاجاری از سنگ‌های دگرگونی مناطق شمالی (مانند پهنه‌ی سندج - سیرجان) سرچشمه گرفته‌است. سپس در دشتی ساحلی رسوب کرده و در این هنگام کانی‌های تیره‌ی حاصل از فرسایش سری هرمز نیز به آنها افزوده شده‌است. بررسی مقاطع نازک و آزمایش‌های شیمیایی نشان می‌دهد که در سنگ‌های سری هرمز، این مقدار فراوان کوارتز وجود ندارد تا بتواند منشأ دانه‌های این کانی در لایه‌های سازند آغاجاری باشد.

از نظر طبقه‌بندی، ماسه‌سنگ‌های سازند آغاجاری در گروه لیت‌آرنایت‌ها قرار می‌گیرد (Flügel, 2004). درصد ماتریکس رسی در این نوع ماسه‌سنگ‌ها کمتر از ۱۵٪ است و با داشتن مقداری خردہ‌سنگ و فلدسپات شناخته می‌شود که البته کمتر از مقدار کوارتز است. این سنگ‌ها از نظر ترکیب شیمیایی و نوع دانه‌ها شبیه گریواک‌ها هستند، ولی میزان ماتریکس رسی در آنها بسیار کم است. اما در مقابل، درصد قابل توجهی از سنگ را سیمان کلسیتی تشکیل می‌دهد. اگرچه لیت‌آرنایت‌ها از نظر ترکیب شیمیایی متنوع‌اند، به طور کلی مقدار زیادی  $\text{Al}_2\text{O}_3$  در فلدسپات و میکا دارند. میزان  $\text{MgO}$  در این سنگ‌ها کم است. لیت‌آرنایت‌ها حدود ۲۰ درصد از کل ماسه‌سنگ‌ها را تشکیل می‌دهند. ترکیب جورنشده در این سنگ‌ها، نرخ بالای تولید و نهشته شدن رسوب را نشان می‌دهد که از بالای پوسته سرچشمه گرفته و بعد از حمل شدن در یک مسافت کوتاه نهشته شده‌است. بسیاری از ماسه‌سنگ‌های ژوراسیک، کرتاسه و نوژن در خاورمیانه و ایران از این نوع است. رخساره‌های ماسه‌سنگی نوژن زاگرس به ویژه سازند آغاجاری پس از

بسته شدن نتوتیس و همزمان با کوهزایی‌های جدید (استیرین، آتیکن) در یک حوضه‌ی فورلند (جلوی کمربند چین خورده) نهشته شده‌اند (Islam, 2010)؛ البته به نظر Sahraeyian و همکاران (2013) و Moradi (2015)، ماسه‌سنگ‌های سازند آغازاری از نوع کالک‌لیتایت‌ها است که در دشتی ساحلی تحت تأثیر جریان‌های جزر و مدی نهشته شده‌است. همچنین بهرامی (۱۳۷۷) و Bahrami (2009)، این رسوبات را به نهشته‌های کanal جزر و مدی و دشت ساحلی نسبت داده‌اند. برخی دیگر نیز مانند Elmore and Farrand (1981)، این توالی را با نهشته‌های رودخانه‌ی بریده و دشت سیلابی مرتبط دانسته‌اند. نهشته‌های یاد شده با اینکه زمینه‌ی آهکی دارد، به دلیل کمبود سیمان و وجود برخی کانی‌های ناپایدار در میان دانه‌های خود مانند اولیژیست، مسکوویت و آلبیت، بسیار زودفرسا هستند. فراوانی شکل‌های ناشی از فرسایش بادی در این سازند نیز به همین دلیل است (شکل ۳).



شکل ۴: تصاویر میکروسکوپی مقاطع نازک تهیه شده از ماسه‌سنگ‌های سازند آغازگاری. طول مقیاس برابر ۵۰۰ میکرومتر است. الف- مسکووبت (Mo) و کلریت (Cl) همراه با کوارتز پلی‌کریستالین (Qp) و بلورهای درشت کوارتز در سیمان کلیستی (Ca)، نور پلازیزه؛ ب- کوارتز پلی-کریستالین (Qp) و بلورهای درشت کوارتز در سیمان کلیستی (Ca)، نور پلازیزه؛ ج- دانه‌های کوارتز همراه با سنگواره‌ی روزنه‌دار (Fo) و کوارتز پلی‌کریستالین (Qp)؛ د- دانه‌های کوارتز همراه با پلازیوکلاز (PL) و کوارتز پلی‌کریستالین (Qp)؛ ه- خرده‌سنگ دگرگونی (شیست) همراه با کوارتز دارای خاموشی موجی در زمینه‌ی کلیستی، نور پلازیزه؛ و- کانی اوپاک همراه با کوارتز دارای خاموشی موجی، نور پلازیزه.



شکل ۵: تصاویر میکروسکوپی نور عبوری و انعکاسی تهیه شده از ماسه‌سنگ‌های سازند آغازاری و سری هرمز. طول مقیاس برابر ۵۰۰ میکرومتر است.  
الف - خرده‌سنگ آذرین (Lithic) مشکل از پلازیوکلاز (آلیت) که توسط رگه‌ی کوارتز (Q-Vein) بریده شده، همراه با کوارتز پلی‌کریستالین در زمینه‌ی کلسیتی، نور پلاریزه؛ ج - سنگواره جلبک سرخ (Fo) همراه با کوارتز‌های پلی‌کریستالین؛ د - برش تیغه‌های هماتیت (اولیزیست) سری هرمز (گنبد نمکی انگوران)، پلاریزه؛ ب - خرده‌سنگ آذرین (Lithic) مشکل از پلازیوکلاز (آلیت) همراه با کوارتز پلی‌کریستالین در زمینه‌ی کلسیتی، نور پلاریزه؛ گ - کانی اوپاک (هماتیت) در ماسه‌سنگ آغازاری، نور انعکاسی طبیعی.

## ۲- نتایج

در این پژوهش برای اجرای آزمایش XRF، ۲۲ نمونه از این منطقه برداشت و از نظر اکسیدی و عنصری تجزیه و تحلیل شد. سه نمونه دیگر از ماسه‌سنگ‌های آغازاری و اولیزیست‌های سری هرمز نیز برای تجزیه‌ی میکروپرورب انتخاب شد. ماسه‌سنگ‌های مورد مطالعه در این منطقه شامل کانی‌های اصلی مانند کوارتز، کلسیت، آلیت، دولومیت و هماتیت و کانی‌های فرعی مانند ارتوکلاز، آلیت، کلریت، مسکوویت، ایلیت و آمفیبول است. کانی‌های یاد شده هم در مقاطع نازک دیده شده‌اند و هم تجزیه‌ی شیمیایی، وجود آنها را تأیید می‌کند.

جدول ۲: آنالیز اکسیدی نمونه‌های ماسه‌سنگ سازند آغاجاری منطقه‌ی سیاهو (مقدار به درصد است)

	<b>SiO<sub>2</sub></b>	<b>Al<sub>2</sub>O<sub>3</sub></b>	<b>CaO</b>	<b>Fe<sub>2</sub>O<sub>3</sub></b>	<b>K<sub>2</sub>O</b>	<b>MgO</b>	<b>MnO</b>	<b>Na<sub>2</sub>O</b>	<b>P<sub>2</sub>O<sub>5</sub></b>	<b>SO<sub>3</sub></b>	<b>TiO<sub>2</sub></b>	<b>LOI</b>
<b>SIA106</b>	22.41	2.56	15.45	48.87	0.43	2.15	0.09	0.59	0.04	0.29	0.13	6.91
<b>SIA107</b>	25.32	4.15	12.96	41.17	0.64	3.54	0.11	0.78	0.06	1.76	0.24	9.56
<b>SIA108</b>	33.78	5.75	29.03	2.18	0.81	2.84	0.06	1.34	0.07	0.04	0.27	23.82
<b>SIA109</b>	35.78	6.12	26.17	2.84	0.81	3.22	0.07	1.33	0.08	0.03	0.38	23.09
<b>SIA110</b>	37.37	4.46	27.66	2.08	0.92	2.72	0.05	1.15	0.05	0.07	0.20	23.50
<b>SIA111</b>	28.80	5.80	25.57	11.88	0.50	3.19	0.14	0.93	0.08	0.12	1.06	21.61
<b>SIA112</b>	31.27	4.07	31.40	2.32	0.68	2.85	0.06	1.06	0.07	0.05	0.23	25.89
<b>SIA113</b>	42.72	4.56	21.44	2.77	0.70	4.28	0.06	1.34	0.07	0.02	0.25	21.04
<b>SIA114</b>	43.10	4.59	21.69	2.81	0.69	4.32	0.06	1.39	0.07	0.03	0.26	20.58
<b>SIA115</b>	39.14	6.22	21.56	4.27	0.66	4.79	0.09	1.29	0.07	0.02	0.51	20.53
<b>SIA116</b>	44.88	7.38	19.39	3.48	0.91	3.18	0.10	1.68	0.08	0.03	0.57	18.10

جدول ۳: تجزیه‌ی عنصری ماسه‌سنگ سازند آغاجاری در منطقه‌ی سیاهو

Element	As	Ba	Ni	Pb	Sr	Yb	Zn	Zr
Unit	Ppm	Ppm	ppm	ppm	ppm	ppm	Ppm	ppm
Dl	1	5	1	5	1	1	1	1
<b>SIA106</b>	70.01	281.04	37.24	11.03	233.4	1.82	88.12	41.29
<b>SIA107</b>	32.43	149.51	44.72	15.44	205.7	1.66	115.8	69.44
<b>SIA108</b>	16.58	160.93	53.32	<	353.2	1.56	27.47	118.48
<b>SIA109</b>	5.49	270.02	66.45	<	318.3	1.53	29.47	160.09
<b>SIA110</b>	12.01	221.97	55.13	<	393.3	1.53	22.14	161.78
<b>SIA111</b>	19.48	1567	78.11	<	394.8	2.33	95.91	398.99
<b>SIA112</b>	15.91	212.02	50.05	<	379.7	1.44	30.17	121.34
<b>SIA113</b>	44.57	105.99	125.38	<	253.1	1.28	24.01	132.59
<b>SIA114</b>	3.08	107.67	121.6	<	257	1.38	27.87	132.66
<b>SIA115</b>	32.22	145.35	156.49	<	335.1	1.46	44.66	139.73
<b>SIA116</b>	4.84	150.33	62.95	<	268.6	1.59	38.71	212.94

ترکیب شیمیایی این ماسه‌سنگ‌ها از چند نظر قابل توجه است:

ترکیب شیمیایی آنها در اکثر نمونه‌ها با ترکیب مارن‌های سازند میشان شباخت دارد، ولی میزان MgO در آنها پایین‌تر است؛ درصد این ماده در نمونه‌های یاد شده از ۱۵٪ تا ۴۷٪ و متوسط آن ۳۷٪ است. آنالیز شیمیایی نشان می‌دهد که میزان Fe<sub>2</sub>O<sub>3</sub> در برخی از نمونه‌ها زیاد است و به ۸۷٪ نیز می‌رسد که قابل توجه است. این آنومالی، امید-بخش است و به بررسی بیشتری نیاز دارد. از آنجا که نمونه‌های یاد شده از لایه‌های رسوبی گرفته شده‌اند، امکان پی-جویی جانبی این لایه‌ها وجود دارد (جدول ۲).

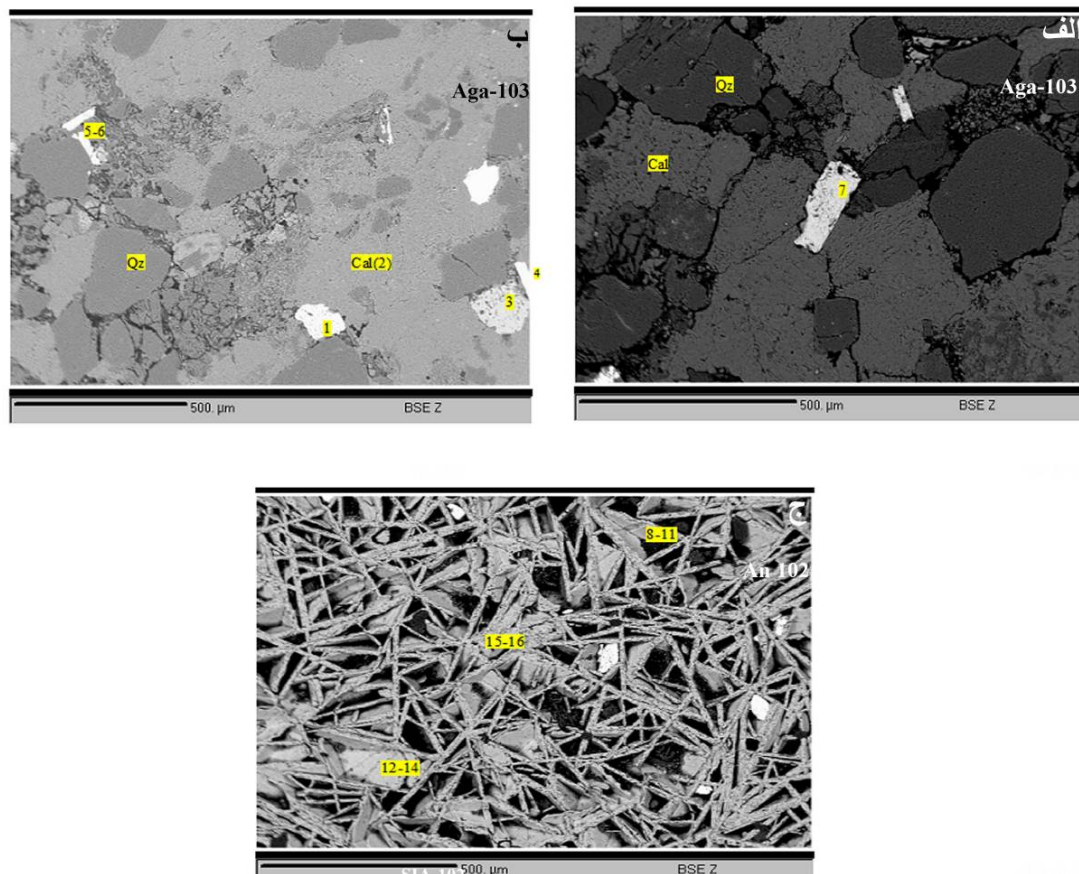
### ۱-۳ - مطالعه‌ی میکروپروب

در این پژوهش برای یافتن منشأ احتمالی اولیژیست‌های موجود در ماسه‌سنگ‌های سازند آغاجاری، دو نمونه از این لایه‌ها و یک نمونه از سری هرمز (گند نمکی انگوران) برداشته شد و مورد تجزیه‌ی نقطه‌ای قرار گرفت. در این آزمایش، کانی‌شناسی و ترکیب شیمیایی اولیژیست‌های موجود در سازند آغاجاری با انواع مشابه در سری هرمز (گندهای نمکی) مقایسه شد (شکل ۶ و جدول ۴).

مطالعه‌ی XRF نشان می‌دهد که میزان MgO در سیمان و زمینه‌ی سازند آگاجاری زیاد است؛ در حالی که در تجزیه‌ی نقطه‌ای اولیزیست‌ها، میزان MgO در آنها بسیار پایین است. بنابراین، به احتمال زیاد منشأ اولیزیست‌ها با سایر دانه‌های این ماسه‌سنگ متفاوت است. از طرف دیگر، میزان FeO در تجزیه‌ی نقطه‌ای اولیزیست‌های درون سازند آگاجاری با نمونه‌های مشابه در سری هرمز (گندب انگوران نمونه‌ی An-102)، بسیار به هم نزدیک است. ترکیب شیمیایی اولیزیست‌ها در نمونه‌های یاد شده نیز با هم بسیار شبیه است؛ بنابراین، می‌توان گفت که همه‌ی آنها احتمالاً از یک منشأ هستند (جدول ۴).

**جدول ۴: نتایج آنالیز نقطه‌ای نمونه‌های سازند آگاجاری (Aga 103) و گلبدهای نمکی انگوران و سیاهو (An 102, Sia 102).**

	Point	Na <sub>2</sub> O	K <sub>2</sub> O	MgO	CaO	MnO	FeO	NiO	CuO	Al <sub>2</sub> O <sub>3</sub>	V <sub>2</sub> O <sub>3</sub>	Cr <sub>2</sub> O <sub>3</sub>	SiO <sub>2</sub>	SO <sub>2</sub>	TiO <sub>2</sub>	Total
Aga-103	1 / 1 .	0.03	0	0	0.45	0.05	89.6	0	0	0	0.01	0.23	0.07	0.03	90.5	
	2 / 1 .	0.05	0	0.79	55.8	0.01	0.14	0.03	0.05	0	0.05	0.02	0.06	0.12	0.02	57.2
	3 / 1 .	0.06	0	0	0.12	0.02	0.38	0.01	0.05	0.02	0.44	0.2	0.34	0	97.2	98.9
	4 / 1 .	0.14	0	0.08	0.54	0.04	89.9	0	0	0.08	0	0	0.34	0	0.2	91.3
	5 / 1 .	0.08	0	0	0.42	0.01	89.2	0	0	0.18	0.06	0.02	0.19	0.04	0.02	90.2
	6 / 1 .	0.17	0.02	0.03	0.13	0	88.7	0	0	0.3	0.03	0	0.7	0.07	0.14	90.3
	7 / 1 .	0.11	0.04	0.09	0.12	0	89.5	0.04	0	0.02	0.04	0	0.13	0.06	0.02	90.2
Sia-102	19 / 1 .	0.58	0.24	1.03	5.68	0.31	65.9	0.05	0.04	0.14	0.02	0.04	6	0.38	0	80.4
	20 / 1 .	0.67	0.24	1.27	9.89	0.24	70.4	0.11	0.04	0.08	0	0.01	5.85	0.15	0	89
	21 / 1 .	0.31	0.32	1.74	4.85	0.26	75.6	0.05	0	0.17	0.03	0	7.81	0.24	0.01	91.4
	22 / 1 .	1.04	0.26	1.4	5.12	0.36	77.5	0.06	0.06	0.14	0.02	0.01	5.56	0.33	0	91.9
An-102	8 / 1 .	0.13	0.02	0	0	0.03	90.6	0.07	0	0.06	0	0.02	0.36	0	0.08	91.3
	9 / 1 .	0.03	0.04	0.07	0.15	0	87.9	0	0	0.42	0.01	0	2.71	0	0.06	91.4
	10 / 1 .	0.12	0.04	0	0.06	0	88.5	0.02	0	0.17	0.02	0.02	1.51	0.01	0.08	90.6
	11 / 1 .	0.04	0.07	0	0.06	0.02	84.7	0	0	0.49	0.02	0	1.81	0	0.02	87.2
	12 / 1 .	0	0.02	0.13	0.01	0.03	89.5	0.01	0	0	0.03	0	0.13	0	0.07	90
	13 / 1 .	0.26	0.02	0.06	0.06	0	89.9	0.01	0	0.01	0.02	0.01	0.34	0	0.07	90.7
	14 / 1 .	0.04	0.02	0	0.01	0	90.5	0.04	0	0.14	0.02	0.03	0.43	0	0.03	91.2
	15 / 1 .	0.29	0.02	0	0.01	0	90	0	0	0.14	0.02	0	0.5	0	0.08	91
	16 / 1 .	0.46	0.08	0.18	0.11	0	82.8	0.03	0	0.2	0	0	7.43	0.01	0.03	91.3
	17 / 1 .	0.08	0	0	0.05	0	89.8	0.03	0.03	0.08	0	0.01	0.35	0	0.05	90.4
	18 / 1 .	0.16	0.03	0.06	0.14	0	88.9	0	0	0.13	0.02	0	2.31	0.01	0.12	91.8



شکل ۶: عکس‌های گرفته شده توسط دستگاه میکروپرور از مقاطع صیقلی. الف و ب- تصاویر نقاط آنالیز نمونه‌ی Aga 103 ماسه‌سنگ آغاجاری؛ ج- تصویر نقاط آنالیز نمونه‌ی An 102 اولیژیست گبید نمکی انگوران.

در برخی موارد، مقدار FeO کم بوده، اما میزان CaO زیاد است که این امر به دلیل انتخاب کلسیت به عنوان نقطه‌ی تجزیه است. تعدادی از دانه‌های اولیژیست سازند آغاجاری هم به دلیل آغشتگی ناشی از ورود کلسیت به درون درزه‌های آن، دارای مقدار کمتر از ۱۰ درصد CaO است.

میزان SiO<sub>2</sub> موجود در برخی از اولیژیست‌های سری هرمز به حدود ۷ درصد نیز رسیده است و میزان همین اکسید در اولیژیست‌های سازند آغاجاری (نمونه‌ی Sia-103) نیز نسبتاً بالاست. این شباهت نیز می‌تواند منشأ یکسان آنها را نشان دهد.

در یکی از نقاط تجزیه‌ی مریوط به نمونه‌ی Ag-103 (سازند آغاجاری)، میزان TiO<sub>2</sub> به ۹۷ درصد رسیده که احتمالاً نقطه‌ی موردنظر، حاوی کانی روتیل بوده است. منشأ این کانی می‌تواند برگرفته از سنگ‌های آذرین اسیدی در پهنه‌ی سنندج - سیرجان باشد.

#### ۴- نتیجه‌گیری

با توجه به تلفیق و بررسی نتایج حاصل از آزمایش‌های XRF و میکرورپرب بر اولیزیست‌ها و بررسی‌های میکروسکوپی، ماکروسکوپی و مشاهدات صحرایی، نتایج زیر حاصل شد:

- ماسه‌سنگ‌های سازند آغازگاری در منطقه‌ی سیاهو، از چند زاویه قابل توجه هستند؛ در برخی نقاط، درصد  $\text{Fe}_2\text{O}_3$  به صورت قابل ملاحظه‌ای بالا و به صورت کانی اولیزیست است. میانگین کل عیار این کانی، حدود ۳ درصد است که اینک اقتصادی نیست.

- با توجه به نتایج حاصل از مطالعات آنالیز نقطه‌ای به نظر می‌رسد که منشأ اولیزیست‌های موجود در سازند آغازگاری، احتمالاً برگرفته از فرسایش سنگ‌های سری هرمز است.

- مقادیر فراوانی کوارتز پلی‌کریستالین در سازند آغازگاری وجود دارد که نمی‌تواند از گنبدهای نمکی تأمین شده باشد؛ زیرا درون آنها این میزان فراوان از کوارتز وجود ندارد تا منشأ این حجم زیاد از سازند آغازگاری باشد.

- بخشی از کوارتزهای موجود در سازند آغازگاری، دارای خاموشی موجی هستند که منشأ دگرگونی را برای آنها نشان می‌دهد. احتمالاً این کوارتزها از هوازدگی و فرسایش سنگ‌های دگرگونی زون سنتنج - سیرجان سرچشمه گرفته است.

- کانی‌هایی مانند کلریت و آلبیت که پایداری شیمیایی زیادی ندارند نمی‌توانند مسافت زیادی حمل شده باشند؛ بنابراین، به احتمال زیاد از دگرگونی‌های سنتنج - سیرجان به داخل حوضه‌ی رسویی حمل شده‌اند. کانی ارتوز می‌تواند از ریولیت‌های موجود در گنبدهای نمکی یا سنگ‌های آذرین اسیدی موجود در زون سنتنج - سیرجان سرچشمه گرفته باشد.

- شbahت درصد  $\text{SiO}_2$  اولیزیست‌های موجود سری هرمز و سازند آغازگاری، همسان بودن آنها را نشان می‌دهد؛ یعنی احتمالاً اولیزیست‌های موجود در سازند آغازگاری از سری هرمز سرچشمه گرفته است.

- در تجزیه‌ی شیمیایی  $\text{MgO}$  میزان  $\text{MgO}$  در نمونه‌های سازند آغازگاری بالاست که به زمینه‌ی کربناتی و دانه‌های آهکی موجود در آن بازمی‌گردد، ولی آنالیز نقطه‌ای روی اولیزیست‌های موجود در این سازند نشان می‌دهد که میزان  $\text{MgO}$  در این دانه‌ها بسیار کم است و این خود دلیلی بر همسان نبودن منشأ دانه‌ها در سازند آغازگاری است. شاید بتوان گفت که  $\text{MgO}$  موجود در ترکیب شیمیایی کربنات‌های سازند آغازگاری، از فرسایش سنگ‌های بازیک و اولترابازیک (احتمالاً افیولیت‌ها) تأمین شده باشد. البته این امر، نیازمند بررسی بیشتر است.

#### ۵- سپاس‌گزاری

این مقاله از طرح پژوهشی شماره‌ی ۹۴/۲۰۰/۸۳۰ استخراج شده است و نگارنده‌گان بر خود لازم می‌دانند که از معاون محترم پژوهش و فناوری دانشگاه هرمزگان تشکر کنند که به پشتیبانی مالی از این طرح پرداخته‌اند.

#### منابع

- Bahrami, M., 2009. Lithofacies and sedimentary environments of Aghajari Formation in Dehsheikh Mountain, West of Shiraz, Iran, *World Applied Science Journal*, 6 (4), 464 - 473.

2. Abbasi, R., & P. Rezaee., (2014). The depositional environment and provenance of Aghajari Formation in Bandar Abbas area, Zagros basin. Geosciences Investing in the Future. the 6th EAGE International Conference and Exhibition. Saint Petersburg. Russia.
3. Aghanabati, S. A., 2004. Geology of Iran, *Geological Survey of Iran*, 586 PP. (in Persian).
4. Alsouki, M.; Riahi, M. A.; & I. Abdollahie Fard, 2008. Analysis of Miocene depositional systems in offshore area of strait of Hormuz based on 3D-seismic data, *Journal of Applied Sciences*, (8), 1812 - 1821.
5. Amiri-Bakhtiar, H., 2014. Implication of Zagros stratigraphy: Mishan and Aghajari formations, *Oil and Gas Exploration and Production*, (110), 39 - 43.
6. Elmore, R. D., & W. R. Farrand., (1981). Asphalt-bearing sediments in synorogenic Miopliocene molasse, Zagros Mountains, Iran. *AAPG Bulletin*. 65, 1160 - 1165.
7. Emami, H., 2008. Foreland propagation of folding and structure of the mountain front Flexure in the Pusht-E Kuh Arc (Zagros, Iran), Universitat de Barcelona, Barcelona, 350 PP.
8. Flügel, E., 2004. Microfacies of carbonate rocks: Analysis, Interpretation and Application, Springer-Verlag, Berlin Heidelberg, 976 PP.
9. Folk, R. L., 1974. Petrology of sedimentary rocks. Hemphill, Austin, Texas, 159 pp.
10. Fakhari, M., 1995. Geological map of Bandar Abbas 1/250000 (sheet I-13), National Iranian Oil Company.
11. Hassani, M. J., & F. Hosseini-Pour., (in press). Lithostratigraphy and microbiostratigraphy of the Neogene deposits (the Mishan and Aghajari Formations) in the Northeast of Bandar Abbas. *Paleontology Journal* (in Persian).
12. Hassani, M. J.; Hosseini-Pour, F.; & M. Dorisi, 2014. Stratigraphy, paleontology and paleoecology characteristics of Stars Valley deposits in Qeshm Island, *Palaeontology Journal*, (2), 19 - 34.
13. Homke, S. J.; Verges, G.; Garces, H. E.; & R. Karpuzc, 2004. Magnetostratigraphy of Miocene – Pliocene Zagros foreland deposits in the front of the Push-e Kush Arc (Lurestan Province, Iran), *Earth and Planetary Science Letters*, (225), 397 - 410.
14. Islam, M. A., 2010. Petrophysical evaluation of subsurface reservoir sandstones of Bengal Basin, Bangladesh, *Journal of the Geological Society of India*, 76 (6), 621 - 631.
15. Kalantari, A., 1992. Lithostratigraphy and microfacies of Zagros orogenic area South-West Iran, National Iranian Oil Company, exploration and production, geological laboratories publication 12, 421 pp.
16. Khadivi, Sh.; Moutherneau, F.; Larrasoana, J. C.; Verges, J.; Lacombe, O.; Khademi, E.; Melinte-Dobrinescu, M.; & J. P. Suc, 2009. Magnetostratigraphy of synorogenic Miocene foreland sediments in the Fars arc of the Zagros Folded Belt (SW Iran), *Basin Research*, doi:10.1111/j.1365-2117.2009.00446.x.
17. Khaksar, M., 2012. Facies and sedimentary environments of Aghajari Formation in the west of Bandar Abbas (Suru section), Islamic Azad University, Zahedan branch, Msc thesis, 74 pp.
18. Makki, S.; Rezaee, P.; & H. R. Peyrowan, 2016. Study of effective factors on water erosion in marl deposits of Aghajari and Mishan formations in the west of Bandar Abbas, *Quarterly Journal of Environmental Erosion Research*, 6 (1), 30 - 51.
19. Moradi, B., 2015. Lithofacies, precipitation conditions and diagenetic characters of Aghajari Formation in West of Bandar Abbas (Suru section), MSc thesis, Hormozgan University, 99 p. (in Persian).
20. Mortazavi, S. M., 2006. Search for edible salt in Hormozgan Province. Industry, Mine and Trade Survey of Hormozgan Province, research program, 130 p. (in Persian).
21. Motiei, H., 1993. Stratigraphy of Zagros, *Geological Survey of Iran*, 536 p. (in Persian).
22. Nohegar, A.; Kazemi, M.; Ahmadi, J.; Gholami, H.; & R. Mahdavi, 2017. Using mixed models to determine the contribution of land use and geology formation in erosion and

- sediment yield: a case study of Tange-Bostanakwatershed in Fars Province, Iran, *Quarterly Journal of Environmental Erosion Research*, 6 (4), 81 - 103.
23. Sahraeyan, M.; Bahrami, M.; & S. H. Hejazi, 2013. The Aghajari (Upper Fars) Formation in the Folded Zagros Zone, Iran: Insights to Identify Facies, Architectural Elements, Fluvial Systems, Petrography and Provenance, *Acta Geologica Sinica*, 87 (4), 1019 - 1031.
24. Stöcklin, J., & A. Setudehnia., (1991). Stratigraphy Lexicon of Iran, Geological Survey of Iran, Report No. 18, 376 p.
25. Vega, F. J.; Gholamalian, H.; Hassani, M. J.; Sajadi, S. H.; & P. Schaaf, 2012. Miocene Crustacea from northern Bandar Abbas, South Iran, *Neues Jahrbuch für Geologie und Paläontologie Abhandlungen*, 265 (3), 221 - 234.

# Mineralogy relationship between oligists and quartzes of the Aghajari Formation and Hormuz Series in the Sahoo region, Hormozgan

**Mohammad Poosti<sup>1</sup>:**, Assistant Professor, Department of Geology, Faculty of Sciences, University of Hormozgan, Bandar Abbas.

**Hossein Gholamalian:** Associate professor, Department of Geology, Faculty of Sciences, University of Hormozgan, Bandar Abbas.

**Article History (Received: 2018/05/21**

**Accepted: 2019/01/05**

## Extended abstract

### 1- Introduction

Aghajari Formation as the last unit of Fars Group crops out in Hormozgan Province with a considerable thickness. This Formation is composed of red sandstones and green to reddish grey silty marls. According to Kalantari (1992), this formation has the age range of Middle Miocene to Pliocene. The thickness of this formation reaches to 3000m in northern Bandar Abbas (Gholamalian, 2012). The great thickness, broad expansion, slothness (with attention to the calcareous matrix) and presence of some amounts of Iron rich minerals as grains are characteristics of this formation mineralogical composition. Also these rocks contain polycrystalline quartz, wavy extinction quartz, fossil fragments and some minor minerals such as muscovite, chlorite, albite, orthoclase in addition to oligiste. In order to identify the origin of

the mentioned minerals; several samples are studied by microscope and some are processed by chemical analysis. In addition, the origin of oligiste particles was considered; so some samples containing this mineral were collected from Hormuz Series of Sahoo, Anguran, Zendan and Hormuz salt diapirs.

### 2- Methodology

The studied area is located in 74 km North of Bandar Abbas, near the Sahoo and Aghasim villages. We should go 64 km northward from Bandar Abbas and then 10 km eastward in order to access the studied section. The studied section is approximately 4 km before the Aghasim

village. Fifty samples were collected from Aghajari Formation and Hormuz Series for the sake of this study; 22 of them were for chemical analysis and 20 for microscopic thin and polished sections. Three oligiste samples are collected from salt domes for comparison to the Iron rich mineral grains of Aghajari Formation. Oxidic and elemental XRF analysis of samples performed on 22 samples. In addition, point analysis of microprobe exercises are done on the rock forming grains of Aghajari Formation and Hormuz salt plug oligisites with XRF method. Thin and polished sections are studied by polarized and reflective microscopes.

### 3- Results

Microscopic investigations on the thin sections of Aghajari Formation showed the mineralogical content of rocks. Average mineralogical component of grains in this sandstones includes %45 to %50 quartz (%20 wavy extinction quartz and %25 to %30 polycrystalline quartz), less than %10 albite and orthoclase, %3 to %5 black oligiste and %30 to %35 calcareous matrix.

Quartz is the main mineral in the grains. Polycrystalline and wavy extinction quartzes can generally form in metamorphic phases. On the other hand, angular to semi-rounded quartz **Grains** show short distance transportation. It seems these quartz grains are originated from the

---

<sup>1</sup> Corresponding Author: [m.poosti@hormozgan.ac.ir](mailto:m.poosti@hormozgan.ac.ir)

Sanandaj – Sirjan metamorphic belt rocks. Weak mineralogy and grain size sorting and high thickness of Aghajari Formation show fast sedimentation and short distance transportation of grains. On the other hand, comparison of microprobe spot XRF analysis of oligiste grains shows the chemical composition similarity of this mineral in Hormuz series and **Aghajari** Fomation sandstones. So these mineral grains are transported from Hormuz series salt plugs to the sedimentary environment during deposition of Aghajari Fomation in the Late Miocene to the Pliocene.

#### 4- Discussion & Conclusions

Results of XRF analysis, microprobe and microscopic investigations prove the presence of  $\text{Fe}_2\text{O}_3$  as oligiste grains in the Aghajari Formation sandstones. Results of point analysis of these particles are similar to those of Hormuz series; showing the probable origin of oligiste particles in the sandstones. A large amount of quartz is present in the Aghajari Formaion sandstones that cannot be transported from salt plugs, because there are a few amount of this mineral in the Hormuz Series.

Wavy extinction quartz grains are abundant in the Aghajari Formation sandstones and have been originated from Sanandaj - Sirjan metamorphic belt.

Presence of some mineral particles such as: albite, muscovite, and chlorite in the Aghajari sandstones prove short distance transportation, probably from the Sanandaj - Sirjan metamorphic belt.

In fact, Aghajari sandstone particles are synchronously transported from two main sources; Sanandaj - Sirjan metamorphic rocks are the origin of quartz grains and oligiste fragments are originated from the Zagros Range salt domes.

**Key Words:** Oligiste, Quartz, Aghajari Formation, Hormuz Series, Sanandaj – Sirjan, origin determination.